



UNIVERSIDADE DO MINHO

DEPARTAMENTO DE INFORMÁTICA

Computação Gráfica  
Primitivas gráficas

Bárbara Cardoso (a80453)      Marcio Sousa (a82400)  
Pedro Mendes (a79003)

12 de março de 2022

# Conteúdo

<b>1</b>	<b>Introdução</b>	<b>2</b>
<b>2</b>	<b>Arquitetura do Projecto</b>	<b>2</b>
2.1	Common . . . . .	2
2.2	Engine . . . . .	2
2.3	Generator . . . . .	2
2.4	Dependências . . . . .	2
<b>3</b>	<b>Primitivas</b>	<b>3</b>
3.1	Plano . . . . .	3
3.2	Paralelepípedo . . . . .	4
3.3	Esfera . . . . .	5
3.4	Cone . . . . .	7
<b>4</b>	<b>Câmara</b>	<b>9</b>
4.1	Explorer Mode . . . . .	9
4.1.1	Controlos ( <i>key bindings</i> ) . . . . .	9
4.2	FPS Mode . . . . .	9
4.2.1	Controlos ( <i>key bindings</i> ) . . . . .	9
4.3	Transição de modos da câmara . . . . .	10
4.4	Outros controlos ( <i>key bindings</i> ) . . . . .	10
<b>5</b>	<b>Gestão de memória</b>	<b>10</b>
<b>6</b>	<b>Conclusões e Trabalho Futuro</b>	<b>12</b>

# 1 Introdução

Este trabalho foi proposto no âmbito da unidade curricular de Computação Gráfica, e tem como objetivo desenvolver um motor gráfico genérico para representar objetos a 3 dimensões.

O projeto está dividido em várias fases, sendo que nesta primeira, serão implementadas algumas primitivas gráficas, como o plano, o paralelepípedo, a esfera e o cone e também uma primeira implementação de dois modos de Câmera.

## 2 Arquitetura do Projecto

Após analisar o problema, foi decidido que o projeto estaria dividido em dois executáveis, o **generator** e o **engine**. Para além destes, temos também na nossa arquitetura, uma biblioteca comum aos dois.

### 2.1 Common

Aqui está apenas definido um ficheiro `Point.cpp/hpp` que representa um ponto no espaço 3D.

```
class Point {  
    private:  
        float _x, _y, _z;  
        // -- snip -- /  
}
```

### 2.2 Engine

Este módulo é composto pelos `model.cpp/hpp` que representa cada modelo, ou seja, o conjunto de pontos que define cada um dos modelos, e disponibilizando também um método para os desenhar, e a `main.cpp` que carrega todos os ficheiros especificados no ficheiro `config.xml` (ou o ficheiro passado como argumento do programa) e desenha-os no ecrã. Esta define também a lógica que controla a câmara.

O algoritmo de desenho é simples. Primeiro todos os modelos do ficheiro de configuração são carregados para memória sobre a forma de `Models`. De seguida cada um destes modelos é renderizado no ecrã, chamando `glVertex3f` para cada um dos seus pontos, pela ordem em que foram lidos, e, por fim, inicia-se o *loop* do *glut*. Desta forma, os modelos são carregados apenas uma vez para memória.

### 2.3 Generator

Este módulo é composto pelo ficheiro `generator.cpp/hpp` que disponibiliza métodos para gerar os pontos necessários para desenhar as 4 primitivas geométricas e a `main.cpp` que interpreta os argumentos da linha de comandos para chamar estes métodos e produzir um ficheiro com estes argumentos.

O trabalho feito por este módulo é explicado em mais detalhe na secção 3.

### 2.4 Dependências

A nossa única dependência é o rapidxml (<http://rapidxml.sourceforge.net/manual.html>). Este permite-nos fazer rapidamente a interpretação do ficheiro de configuração, onde estão definidos os objetos a desenhar.

### 3 Primitivas

Para esta fase do projeto foram desenhadas quatro figuras, contando com um plano, um cubo, uma esfera e um cone. Serão, em seguida, apresentados os algoritmos para o cálculo dos pontos necessários para desenhar cada uma destas primitivas, bem como uma contextualização com as premissas utilizadas durante o raciocínio, quando necessário.

#### 3.1 Plano

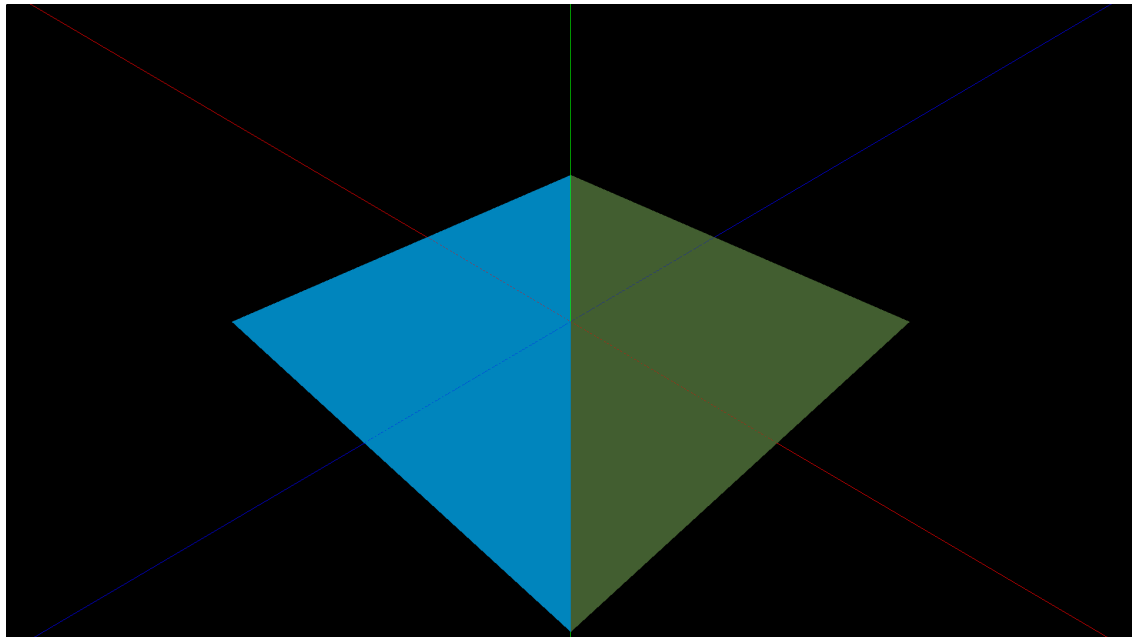


Figura 1: Plano: Comprimento de Lado: 10

O plano é uma figura de extrema simplicidade, composto apenas por 6 pontos que formam 2 triângulos, que por sua vez darão origem ao plano em  $XoZ$ .

É recebido como parâmetro o comprimento do lado do quadrado em questão, que será usado para calcular os pontos. Sendo que este plano está centrado na origem, cada um dos pontos é calculado da seguinte forma:

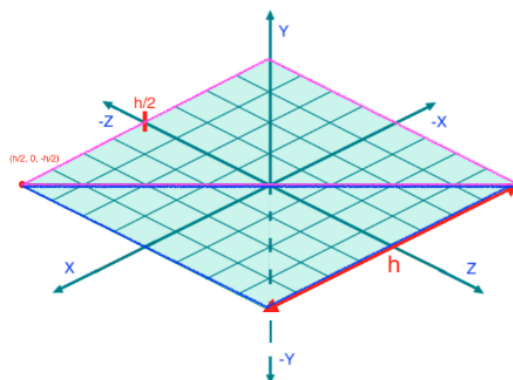


Figura 2: Esquema do Plano.

Para definir o triângulo superior:

$$\begin{aligned} & (h/2, \quad 0, \quad h/2) \\ & (-h/2, \quad 0, \quad -h/2) \\ & (-h/2, \quad 0, \quad h/2) \end{aligned}$$

Para definir o triângulo inferior:

$$\begin{aligned} & (-h/2, \quad 0, \quad -h/2) \\ & (h/2, \quad 0, \quad h/2) \\ & (h/2, \quad 0, \quad -h/2) \end{aligned}$$

### 3.2 Paralelepípedo

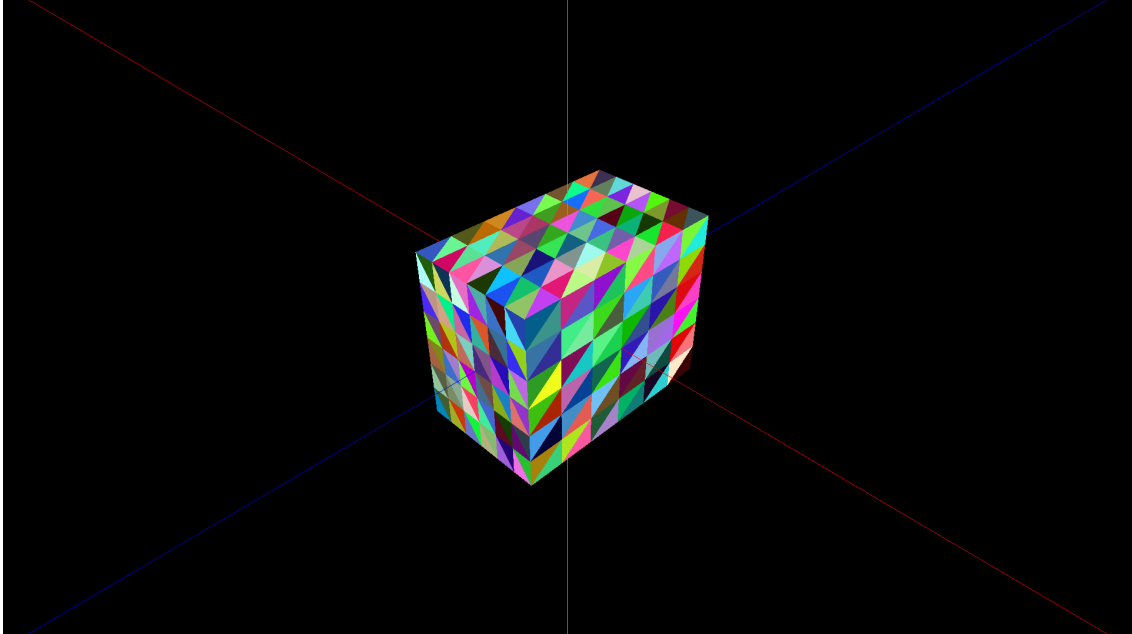


Figura 3: Paralelepípedo: x: 3, y: 4, z: 5, Divisões: 6

Um paralelepípedo é formado por 6 faces, sendo cada face formada por  $divisions^2$  quadrados, sendo cada um desses quadrados formado por dois triângulos. Estas divisões são utilizadas para iterar sobre todas as superfícies do paralelepípedo, sendo esta distância entre divisões usada para calcular o próximo ponto baseado no ponto ‘atual’.

Tendo o paralelepípedo centrado na origem, por motivos de facilidade de cálculos, calculamos:

$$X_{axis} = x/2$$

$$Y_{axis} = y/2$$

$$Z_{axis} = z/2$$

como ‘valores máximos’ que podem ser tomados por cada uma das coordenadas dos pontos que constituem o paralelepípedo, e

$$X_{spacing} = x/divisions$$

$$Y_{spacing} = y/divisions$$

$$Z_{spacing} = z/divisions$$

como sendo os valores que, tal como o nome indica, correspondem ao espaçamento entre divisões para cada eixo.

Assim, usando como exemplo um retângulo da face frontal de um paralelepípedo, teríamos as seguintes coordenadas, para o primeiro e segundo triângulo respetivamente:

$$\begin{aligned} & \left( -X_{axis} + X_{spacing} \times i, \quad -Y_{axis} + Y_{spacing} \times k, \quad Z_{axis} \right) \\ & \left( -X_{axis} + X_{spacing} \times (i+1), \quad -Y_{axis} + Y_{spacing} \times k, \quad Z_{axis} \right) \\ & \left( -X_{axis} + X_{spacing} \times i, \quad -Y_{axis} + Y_{spacing} \times (k+1), \quad Z_{axis} \right) \\ & \left( -X_{axis} + X_{spacing} \times (i+1), \quad -Y_{axis} + Y_{spacing} \times k, \quad Z_{axis} \right) \\ & \left( -X_{axis} + X_{spacing} \times (i+1), \quad -Y_{axis} + Y_{spacing} \times (k+1), \quad Z_{axis} \right) \\ & \left( -X_{axis} + X_{spacing} \times i, \quad -Y_{axis} + Y_{spacing} \times (k+1), \quad Z_{axis} \right) \end{aligned}$$

### 3.3 Esfera

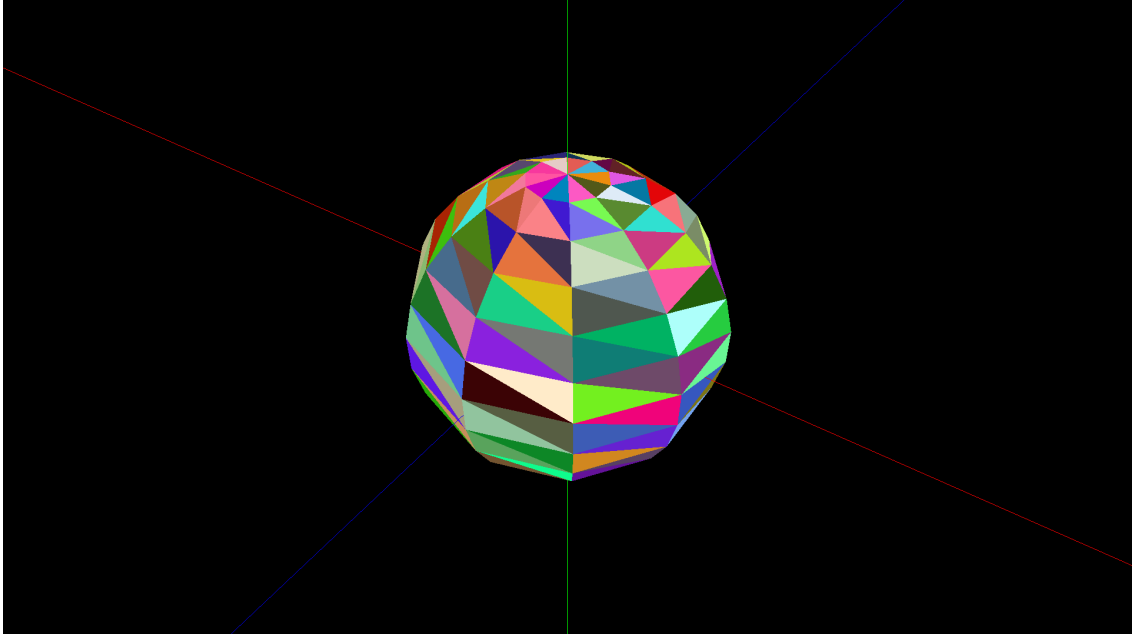


Figura 4: Esfera: Raio: 3, *Slices*: 10, *Stacks*: 13

Uma esfera é dividida em stacks e slices, que serão usadas para iterar a toda a volta da mesma. A interseção entre as slices e as stacks forma retângulos, e cada um destes será constituído por dois triângulos.

Para a criação da esfera serão usadas coordenadas esféricas devido à facilidade que proporcionam, no caso em questão. Assim sendo, são necessárias duas variáveis para representar os dois ângulos que constituem este tipo de coordenadas,  $\phi$  e  $\theta$ , utilizadas na iteração.

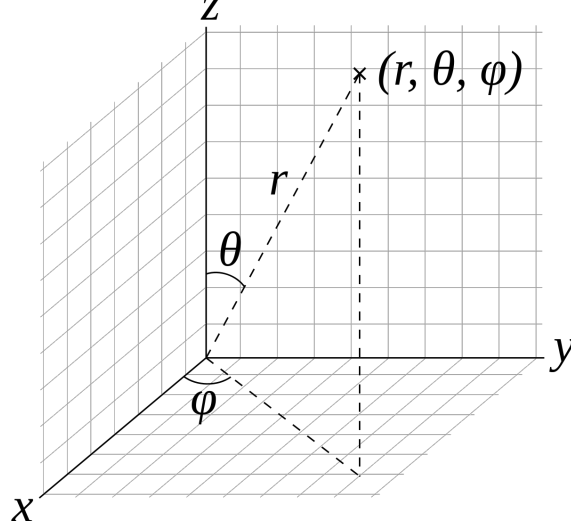


Figura 5: Coordenadas esféricas.

Para o cálculo das coordenadas de cada ponto será também necessário calcular a stack e slice em que se encontram atualmente as iterações, **currentStack** e **currentSlice** que serão calculadas da seguinte forma:

$$currentStack = \theta \times \theta_{Movement}$$

$$currentSlice = \phi \times \phi_{Movement}$$

As variáveis  $\theta_{Movement}$  e  $\phi_{Movement}$  correspondem, respetivamente, à distância entre Stacks e à distância entre Slices.

$$\phi_{Movement} = 2\pi / slices$$

$$\theta_{Movement} = \pi / stacks$$

Para utilizar coordenadas esféricas, o X, Y e Z devem ser alterados, passando a ser:

$$x = radius \times \sin(\theta) \times \sin(\phi)$$

$$y = radius \times \cos(\theta)$$

$$z = radius \times \sin(\theta) \times \cos(\phi)$$

### 3.4 Cone

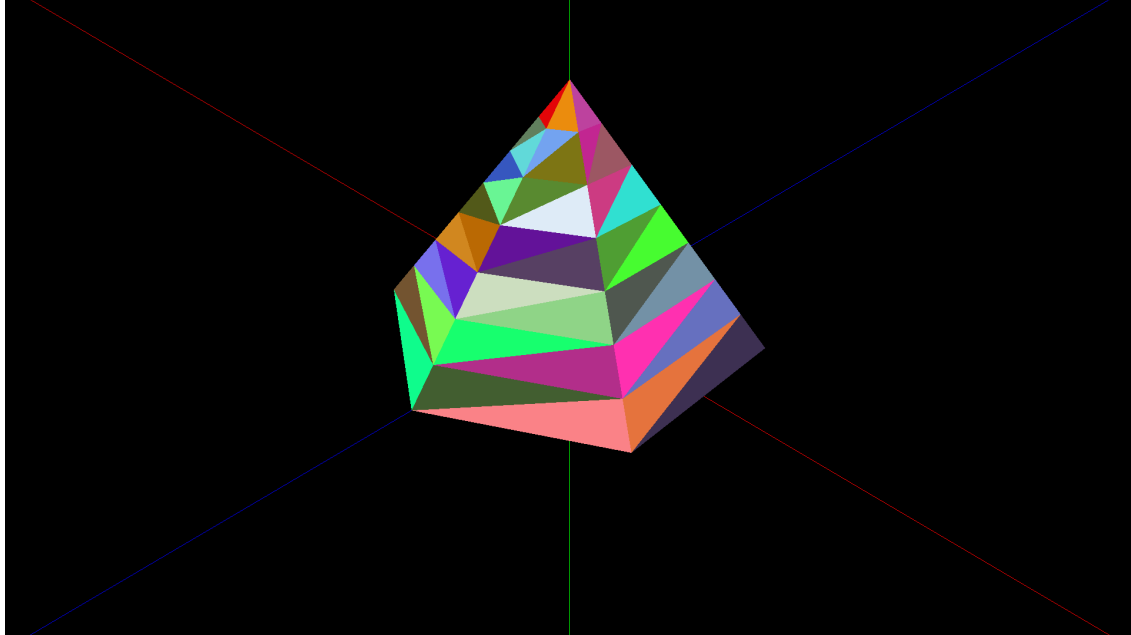


Figura 6: Cone: Raio: 4, Altura: 5, *Slices*: 6, *Stacks*: 7

O cone tem a base sobre o eixo  $XoZ$ , centrada na origem, e é dividido em stacks e slices. A função geradora dos pontos do cone recebe como parâmetros o raio, a altura, o número de slices e o número de stacks.

São declaradas três variáveis,  $\phi$ ,  $\theta$  e *stackSpacing*.

A primeira corresponde à divisão equivalente da base por cada slice.

$$\phi = 2\pi / slices$$

A segunda,  $\theta$ , é calculada dividindo o raio da base pelo número de stacks, o que se traduz na prática em calcular o recuo do raio à medida que se sobe nas stacks.

$$\theta = radius / stacks$$

Por fim, *stackSpacing*, tal como o nome indica, corresponde à distância entre cada stack, o “stack shift”, e é calculado dividindo a altura pelo número de stacks.

$$stackSpacing = height / stacks$$

O desenho do cone em si foi dividido em 3 fases: base, topo e a zona em volta, e tal como na esfera, são utilizadas coordenadas esféricas.



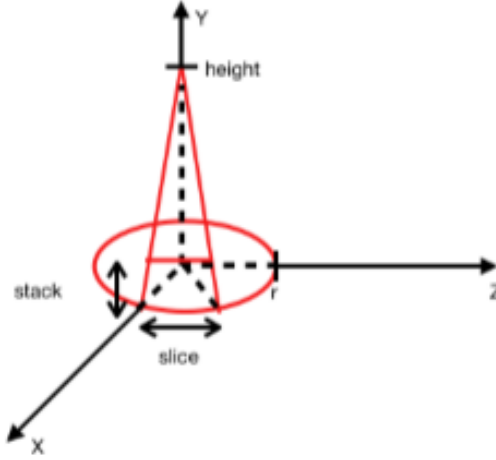


Figura 7: Esquema do cone.

Para a base, quando estamos na primeira stack, em cada iteração é desenhado um triângulo, e o conjunto destes triângulos desenhados formarão a base concêntrica na origem quando tiverem sido executadas todas as iterações. Utilizando coordenadas esféricas chegamos às seguintes coordenadas:

$$\begin{aligned} & (0, \quad 0, \quad 0) \\ & (radius \times \sin(\phi(k+1)), \quad 0, \quad radius \times \cos(\phi(k+1))) \\ & (radius \times \sin(\phi(k)), \quad 0, \quad radius \times \cos(\phi(k))) \end{aligned}$$

sendo que  $k$  toma valores entre 0 e  $slices - 1$  e  $\phi(k+1)$  representa o próximo valor de  $\phi$ .

O topo é desenhado no fim, para completar a “ponta” do cone, então, quando estamos na penúltima stack (a última é o vértice do cone), são desenhados triângulos a toda a volta que partilham um ponto em comum (o vértice), um por cada slice. Utilizando coordenadas esféricas chegamos às seguintes coordenadas:

$$\begin{aligned} & ((radius - \theta i) \times \sin(\phi(k)), \quad i \times stackSpacing, \quad (radius - \theta i) \times \cos(\phi(k))) \\ & ((radius - \theta i) \times \sin(\phi(k+1)), \quad i \times stackSpacing, \quad (radius - \theta i) \times \cos(\phi(k+1))) \\ & (0, \quad stacks \times stackSpacing, \quad 0) \end{aligned}$$

Para os lados, com exceção do topo, serão desenhados retângulos formados por dois triângulos cada um, e serão esses retângulos que constituem o cone até chegar ao topo. Chegamos às seguintes coordenadas:

$$\begin{aligned} & (i(radius - \theta) \times \sin(\phi(k)), \quad i \times stackSpacing, \quad i(radius - \theta) \times \cos(\phi(k))) \\ & (i(radius - \theta) \times \sin(\phi(k+1)), \quad i \times stackSpacing, \quad (radius - \theta i) \times \cos(\phi(k+1))) \\ & ((radius - \theta(i+1)) \times \sin(\phi(k)), \quad (i+1) \times stackSpacing, \quad (radius - \theta(i+1)) \times \cos(\phi(k))) \end{aligned}$$

## 4 Câmera

A câmera pode ser utilizada em dois modos diferentes, o modo *Explorer mode* e o modo *FPS mode*, que podem ser alternados durante a execução do **engine**.

### 4.1 Explorer Mode

Neste modo, o movimento da câmera é descrito por uma superfície esférica, na qual o utilizador se movimenta enquanto mantém, sempre, o seu olhar fixo na origem do referencial. O raio desta superfície esférica é que define a distância até ao centro, podendo ser aumentado para afastar o utilizador do centro do espaço 3d, ou diminuído para o aproximar.

#### 4.1.1 Controlos (*key bindings*)

- H: Move no plano xz no sentido ao dos ponteiros do relógio.
- J: Desce.
- K: Sobe.
- L: Move no plano xz no sentido contrário ao dos ponteiros do relógio.
- I: Reduz o raio da esfera.
- O: Aumenta o raio da esfera.

### 4.2 FPS Mode

Neste modo a posição da câmera no espaço 3d é completamente livre, assim, o utilizador pode mover-se em linha reta em qualquer direção. Pode também alterar o ponto para o qual está a olhar, na horizontal e na vertical.

#### 4.2.1 Controlos (*key bindings*)

- W: Move para a frente.
- A: Move para a esquerda.
- S: Move para trás.
- D: Move para a direita.
- H: Olha para a esquerda.
- J: Olha para baixo.
- K: Olha para cima.
- L: Olha para a direita.
- G: Desce.
- Shift+G: Sobe.

### 4.3 Transição de modos da câmera

Para que a transição seja o mais suave possível foi necessário recorrer à conversão de um sistema de coordenadas para o outro.

Quando a câmera se encontra no modo *Explorer*, a sua posição é determinada através do vetor definido pelos ângulos  $\alpha$  e  $\beta$  e através da sua distância à origem. O ponto para onde a câmera olha é a origem. Ou seja, para efetuar a transição para o modo *FPS* foi necessário encontrar um vetor que quando aplicado na posição da câmera, esta fique a olhar para a origem.

$$\alpha_f = \begin{cases} \alpha_e + \pi & \text{se } \alpha_e < 0 \\ \alpha_e - \pi & \text{caso contrário} \end{cases}$$
$$\beta_f = -\beta_e$$

Figura 8: Transição de *Explorer* para *FPS*.

Quando a câmera se encontra no modo *FPS* é necessário encontrar os ângulos  $\alpha$  e  $\beta$  e também o raio. Estes valores definem o vetor correspondente às coordenadas  $((x,y,z))$  da câmera no momento da transição.

$$\alpha_e = \begin{cases} \arctan(x/z) & \text{se } z < 0 \\ \arctan(x/z) + \pi & \text{caso contrario} \end{cases}$$
$$\beta_e = \arcsin\left(\frac{y}{\sqrt{x^2 + y^2 + z^2}}\right)$$
$$radius = \sqrt{x^2 + y^2 + z^2}$$

Figura 9: Transição de *FPS* para *Explorer*.

### 4.4 Outros controlos (*key bindings*)

- +: Aumenta a escala de todos os modelos.
- -: Diminui a escala de todos os modelos.
- V: Muda o modo da câmera.
- Q: Termina o programa.

## 5 Gestão de memória

Foi utilizada a ferramenta *Valgrind* para garantir que não havia *leaks* de memória. Para o gerador foram testadas todas as primitivas:

```
==14866== Command: target/generator/generator plane.3d plane 10
==14866==
==14866==
==14866== HEAP SUMMARY:
==14866==    in use at exit: 0 bytes in 0 blocks
==14866==   total heap usage: 54 allocs, 54 frees, 83,619 bytes allocated
==14866==
==14866== All heap blocks were freed -- no leaks are possible
==14866==
```

```

==14866== For counts of detected and suppressed errors, rerun with: -v
==14866== ERROR SUMMARY: 0 errors from 0 contexts (suppressed: 0 from 0)

==14867== Command: target/generator/generator box.3d box 20 30 40 6
==14867==
==14867==
==14867== HEAP SUMMARY:
==14867==     in use at exit: 0 bytes in 0 blocks
==14867==   total heap usage: 542 allocs, 542 frees, 263,139 bytes allocated
==14867==
==14867== All heap blocks were freed -- no leaks are possible
==14867==
==14867== For counts of detected and suppressed errors, rerun with: -v
==14867== ERROR SUMMARY: 0 errors from 0 contexts (suppressed: 0 from 0)

==14868== Command: target/generator/generator sphere.3d sphere 10 100 200
==14868==
==14868==
==14868== HEAP SUMMARY:
==14868==     in use at exit: 0 bytes in 0 blocks
==14868==   total heap usage: 239,468 allocs, 239,468 frees, 68,346,015 bytes allocated
==14868==
==14868== All heap blocks were freed -- no leaks are possible
==14868==
==14868== For counts of detected and suppressed errors, rerun with: -v
==14868== ERROR SUMMARY: 0 errors from 0 contexts (suppressed: 0 from 0)

==14871== Command: target/generator/generator cone.3d cone 10 6 100 200
==14871==
==14871==
==14871== HEAP SUMMARY:
==14871==     in use at exit: 0 bytes in 0 blocks
==14871==   total heap usage: 238,474 allocs, 238,474 frees, 68,075,587 bytes allocated
==14871==
==14871== All heap blocks were freed -- no leaks are possible
==14871==
==14871== For counts of detected and suppressed errors, rerun with: -v
==14871== ERROR SUMMARY: 0 errors from 0 contexts (suppressed: 0 from 0)

```

E para o motor, foi testado todo o código à exceção das rotinas do OpenGL:

```

==18205== Command: target/engine/engine
==18205==
==18205==
==18205== HEAP SUMMARY:
==18205==     in use at exit: 0 bytes in 0 blocks
==18205==   total heap usage: 18,726,897 allocs, 18,726,897 frees,
                        1,353,099,887 bytes allocated
==18205==
==18205== All heap blocks were freed -- no leaks are possible
==18205==
==18205== For counts of detected and suppressed errors, rerun with: -v
==18205== ERROR SUMMARY: 0 errors from 0 contexts (suppressed: 0 from 0)

```

## 6 Conclusões e Trabalho Futuro

Ao longo desta primeira fase foi possível perceber o modo de funcionamento de um motor gráfico 3D e como o OpenGL atua na criação das diferentes figuras geométricas.

Conseguimos fazer com que todas as primitivas sejam geradas corretamente e que o motor gráfico seja capaz de as representar genericamente.

Futuramente, em relação à câmera, esta será melhorada para que se possa utilizar o rato no modo *FPS*.

Fazendo uma análise geral ao trabalho desenvolvido ao longo desta primeira fase, aferimos que foram cumpridos todos os objetivos que nos foram propostos.